



# ANOMALÍA $g - 2$ Y LOS MODELOS MÍNIMOS PARA EL $Z'$

---

Laura Maria Muñoz Martinez  
Universidad de Nariño  
29 de marzo de 2022

6th Colombian Meeting on High Energy Physics (COMHEP)

## Momento magnético anómalo del muón.

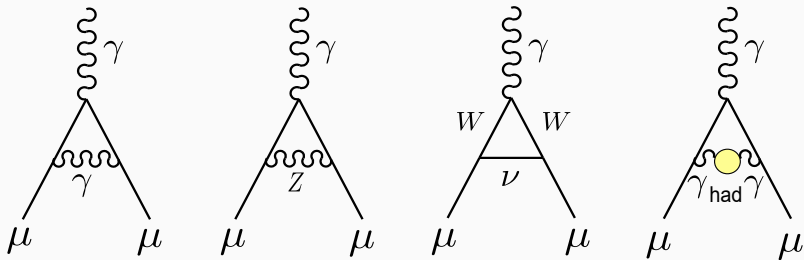
$$\mathbf{M} = g_{\mu} \frac{e}{2m_{\mu}} \mathbf{S} \quad , \quad (1)$$

donde  $e$ ,  $m_{\mu}$ ,  $g_{\mu}$  representan la carga, masa y relación giromagnética del muón respectivamente.

- Física clásica:  $g_{\mu} = 1$ .
- Mecánica cuántica relativista:  $g_{\mu} = 2$ .
- La teoría cuántica de campos  $\rightarrow$  pequeña desviación de  $g_{\mu} = 2$ .

$$a_{\mu} \equiv \frac{g_{\mu} - 2}{2} \quad . \quad (2)$$

# Predicción del Modelo Estándar para $a_{\mu}^{SM}$



**Figura 1:** Diagramas representativos que contribuyen a  $a_{\mu}^{SM}$ . De izquierda a derecha: QED de primer orden (término de Schwinger), débil de orden más bajo, hadrónico de orden más bajo. Fuente: Tomado de [5].

$$a_{\mu}^{SM} = a_{\mu}^{QED} + a_{\mu}^{EW} + a_{\mu}^{Had} \quad . \quad (3)$$

$$a_{\mu}^{QED} = 116584718,92(0,03) \times 10^{-11} \quad , \quad (4)$$

## Experimento (BNL) y (FNAL)

- Experimento E821 en el Brookhaven National Lab (BNL)

$$a_{\mu}^{exp}(\text{BNL}) = 11659209,1(5,4)(3,3) \times 10^{-10} \quad . \quad (5)$$

- Experimento Muon g-2 en Fermilab

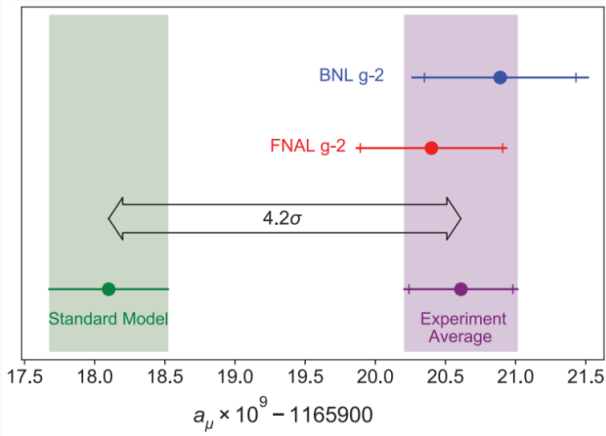
$$a_{\mu}^{exp}(\text{FNAL}) = 116592040(54) \times 10^{-11} \quad . \quad (6)$$

El promedio  $a_{\mu}(\text{Exp})$  de los resultados obtenidos en los experimentos de Fermilab y Brookhaven es [1]:

$$a_{\mu}(\text{Exp}) = 116592061(41) \times 10^{-11} \quad . \quad (7)$$

La diferencia,  $a_{\mu}(\text{Exp}) - a_{\mu}(\text{ME}) = (251 \pm 59) \times 10^{-11}$ , tiene una significancia con la teoría de  $4,2\sigma$ , como se muestra en la Figura (2).

# Experimento (BNL) y (FNAL)



**Figura 2:** Valores experimentales de  $a_\mu$  de BNL E821, primer resultado de FNAL, el promedio combinado y el valor recomendado [2] de la iniciativa de la teoría de Muon g-2 para el modelo estándar. Fuente: Tomada de [1].

## Cancelación de anomalías para el $Z'$

Construir la parametrización más general para la extensión ED mínima del ME, limitándose a los fermiones del ME más neutrinos derechos y un leptón exótico cargado con cargas vectoriales.

- **La simetría gauge**  $SU(2)_L \otimes U(1)_Y \otimes U(1)'$

La derivada covariante del modelo viene dada por [9].

$$D_\mu = \partial_\mu - ig \vec{T}_L \cdot \vec{A}_\mu - ig_Y Y B_{Y\mu} - ig_{Z'} Q_{Z'} Z'_\mu \quad , \quad (8)$$

A nivel de corrientes el Lagrangiano está dado por:

$$\begin{aligned} \mathcal{L} \supset & \sum_f \bar{f}_L \gamma^\mu f_L g_{Z'} \epsilon_L(f) Z'_\mu + \bar{f}_R \gamma^\mu f_R g_{Z'} \epsilon_R(f) Z'_\mu \\ & = \sum_f \bar{f} \gamma^\mu g_{Z'} (g_V(f) + \gamma^5 g_A(f)) f Z'_\mu, \end{aligned} \quad (9)$$

donde  $\epsilon_R = g_V + g_A$  y  $\epsilon_L = g_V - g_A$ . Las relaciones inversas son:  
 $g_V = \frac{\epsilon_R + \epsilon_L}{2}$  y  $g_A = \frac{\epsilon_R - \epsilon_L}{2}$ .

## Cancelación de anomalías de gauge

Para encontrar la solución más general libre de anomalías, se asumen cargas diferentes para los fermiones en cada familia bajo  $U(1)'$ , debido a esto, se requieren al menos dos dobletes de Higgs para dar masas a las tres familias, entonces:

$$\langle \Phi_i \rangle^T = (0, v_i/\sqrt{2}), \quad i = 1, 2. \quad (10)$$

# Cancelación de anomalías de gauge

Simetría  $SU(2)_L \otimes U(1)_Y \otimes U(1)'$

Particles	Spin	$SU(3)_C$	$SU(2)_L$	$U(1)_Y$	$U(1)'$
$\ell_{Li}$	1/2	1	2	-1/2	$\ell_i$
$e_{Ri}$	1/2	1	1	-1	$e_i$
$\nu_{Ri}$	1/2	1	1	0	$n_i$
$q_{Li}$	1/2	3	2	1/6	$q_i$
$u_{Ri}$	1/2	3	1	2/3	$u_i$
$d_{Ri}$	1/2	3	1	-1/3	$d_i$
$\Phi_i$	0	1	2	1/2	$\phi_i$
$E_{Li}$	1/2	1	1	-1	1
$E_{Ri}$	1/2	1	1	-1	1

**Cuadro 1:** Contenido de partículas. El subíndice  $i = 1, 2, 3$  representa el número de familia en la base de interacción. En nuestra solución  $\phi_2 = \phi_3$  de tal manera que solo se necesitan dos dobletes de Higgs. Sin embargo, a veces mantenemos la notación  $\phi_i$ , que es bastante conveniente para fines de notación. El leptón vectorial  $E_{L,R}$  es exótico y se introduce para generar una contribución suficientemente grande al  $g - 2$ .



Para la simetría  $SU(2)_L \otimes U(1)_Y \otimes U(1)'$  con el contenido de partículas que se muestra en la Tabla 1, las ecuaciones de anomalías de gauge no triviales son:

$$\begin{aligned}
 [SU(2)]^2 U(1)' : 0 &= \Sigma q + \frac{1}{3} \Sigma \ell \quad , \\
 [SU(3)]^2 U(1)' : 0 &= 2 \Sigma q - \Sigma u - \Sigma d \quad , \\
 [\text{grav}]^2 U(1)' : 0 &= 6 \Sigma q - 3(\Sigma u + \Sigma d) + 2 \Sigma \ell - \Sigma n - \Sigma e \quad , \\
 [U(1)]^2 U(1)' : 0 &= \frac{1}{3} \Sigma q - \frac{8}{3} \Sigma u - \frac{2}{3} \Sigma d + \Sigma \ell - 2 \Sigma e \quad , \\
 U(1)[U(1)']^2 : 0 &= \Sigma q^2 - 2 \Sigma u^2 + \Sigma d^2 - \Sigma \ell^2 + \Sigma e^2 \quad , \\
 [U(1)']^3 : 0 &= 6 \Sigma q^3 - 3(\Sigma u^3 + \Sigma d^3) + 2 \Sigma \ell^3 - \Sigma n^3 - \Sigma e^3 \quad , \\
 & \hspace{15em} (11)
 \end{aligned}$$

donde  $\Sigma f = f_1 + f_2 + f_3$ .

# Cancelación de anomalías de gauge

También se tiene en cuenta las restricciones derivadas de los acoplamientos Yukawa:

$$\begin{aligned}\mathcal{L}_Y \supset & \bar{\ell}_{1L} \tilde{\Phi}_1 \nu_{1R} + \bar{\ell}_{1L} \Phi_1 e_{1R} + \bar{q}_{1L} \tilde{\Phi}_1 u_{1R} + \bar{q}_{1L} \Phi_1 d_{1R} + \\ & \bar{\ell}_{2L} \tilde{\Phi}_2 \nu_{2R} + \bar{\ell}_{2L} \Phi_2 e_{2R} + \bar{q}_{2L} \tilde{\Phi}_2 u_{2R} + \bar{q}_{2L} \Phi_2 d_{2R} + \\ & \bar{\ell}_{3L} \tilde{\Phi}_2 \nu_{3R} + \bar{\ell}_{3L} \Phi_2 e_{3R} + \bar{q}_{3L} \tilde{\Phi}_2 u_{3R} + \bar{q}_{3L} \Phi_2 d_{3R} + \text{h.c.}\end{aligned}\quad (12)$$

Las restricciones correspondientes que provienen de los términos en el Lagrangiano anterior son (donde  $\phi_2 = \phi_3$ ):

$$\begin{aligned}0 &= e_i - \ell_i + \phi_i \quad , \\ 0 &= n_i - \ell_i - \phi_i \quad , \\ 0 &= d_i - q_i + \phi_i \quad , \\ 0 &= u_i - q_i - \phi_i \quad .\end{aligned}\quad (13)$$

# Cancelación de anomalías de gauge

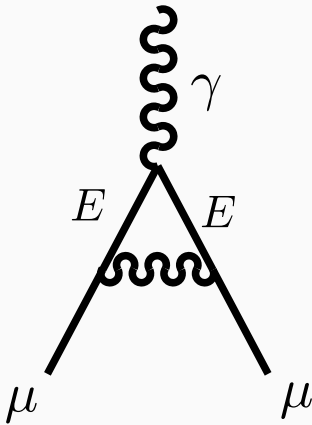
$f$	$\epsilon^{Z'}(f)$
$l_i$	$-3q_i$
$e_i$	$-n_i - 6q_i$
$u_i$	$+n_i + 4q_i$
$d_i$	$-n_i - 2q_i$
$l_j$	$+\frac{1}{2}[n_j - n_k - 3(q_j + q_k)]$
$e_j$	$-n_k - 3(q_j + q_k)$
$u_j$	$+\frac{1}{2}(n_j + n_k + 5q_j + 3q_k)$
$d_j$	$-\frac{1}{2}(n_j + n_k + q_j + 3q_k)$
$l_k$	$+\frac{1}{2}[-n_j + n_k - 3(q_j + q_k)]$
$e_k$	$-n_j - 3(q_j + q_k)$
$u_k$	$+\frac{1}{2}(n_j + n_k + 3q_j + 5q_k)$
$d_k$	$-\frac{1}{2}(n_j + n_k + 3q_j + q_k)$

**Cuadro 2:** Los acoplamientos  $Z'$  para los dobletes de Higgs  $\Phi_i$  y  $\Phi_j$  son  $\phi_i = n_i + 3q_i$  y  $\phi_j = \phi_k = \frac{1}{2}[n_j + n_k + 3(q_j + q_k)]$ . El campo de Higgs  $\phi_i$  se acopla a los fermiones de la  $i$ -th familia. Los enteros  $ijk$  son una permutación 123.

En particular se puede definir  $(n_j - n_k)/2 = L_i = -L_k = 1$ ,  $n_k = -1$  y  $q_i = q_j = q_k = n_i = 0$ , para obtener el modelo  $L_j - L_k$  [4], donde  $L_i$  es 1 para los leptones de la familia  $i$ -th y cero en caso contrario. De estas soluciones, el modelo más conocido es el modelo  $L_\mu - L_\tau$  que se ha utilizado ampliamente para explicar la anomalía  $g - 2$  [3].

# Modelo

Se estudia la anomalía del momento magnético anómalo del muón por medio de un modelo mínimo, en el cual se encuentra una solución para las cargas del  $Z'$  con un contenido mínimo de fermiones, considerando así los fermiones del ME, 3 neutrinos derechos y un leptón exótico cargado.



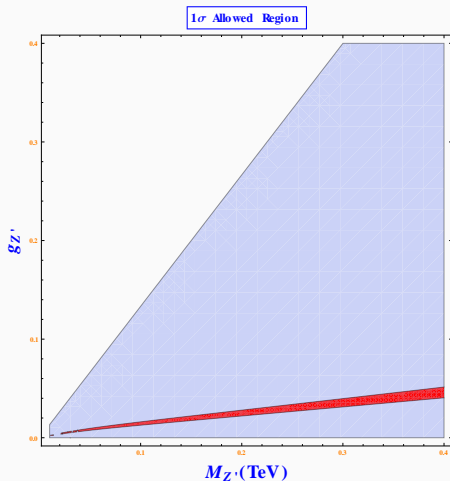
$$\mathcal{L}_{\text{int}} = g_V Z'_\mu \bar{E} \gamma^\mu \mu + g_A Z'_\mu \bar{E} \gamma^\mu \gamma^5 \mu \quad (14)$$

El primer término de ecuación (14) da lugar a una contribución a  $g - 2$ , que se encontró en [8]

$$\Delta a_\mu(E, Z') = \frac{1}{8\pi^2} \frac{m_\mu^2}{m_{Z'}^2} \int_0^1 dx \sum_f \frac{|g_{V2}^{f\mu}|^2 P_4^+(x) + |g_{A2}^{f\mu}|^2 P_4^-(x)}{(1-x)(1-\lambda^2 x) + \epsilon_f^2 \lambda^2 x}, \quad (15a)$$

$$P_4^\pm = 2x(1-x)(x - 2 \pm 2\epsilon_f) + \lambda^2 x^2 (1 \mp \epsilon_f)^2 (1 - x \pm \epsilon_f) \quad (15b)$$

and  $\epsilon_f \equiv \frac{m_{E_f}}{m_\mu}$ ,  $\lambda \equiv \frac{m_\mu}{m_{Z'}}$ . de acuerdo con [7, 6].



**Figura 4:** Región roja: espacios de parámetros permitidos para  $g - 2$  con  $1 \sigma$ . Región púrpura: región permitida por producción tridente del neutrino  $m_{Z'}/g_{Z'} > 0,75 \text{ TeV}$ . Masa de la partícula exótica un valor de  $80 \text{ GeV}$ .

- Se encontró una solución de la anomalía experimental en  $g - 2$ . Para esto se consideró a los  $Z'$  con un contenido mínimo de fermiones, es decir, solo contienen los fermiones del ME, 3 neutrinos derechos y un leptón exótico cargado. De esta manera, se obtuvo el espacio de parámetros permitidos para  $g - 2$  con un nivel de confianza de  $1\sigma$ . También se encontró la región permitida por producción tridente de neutrinos  $m_{Z'}/g_{Z'} > 0,75$  TeV. Se asumió para la masa de la partícula exótica un valor de 80 GeV.



## Referencias

---

- [1] B. Abi et al. Measurement of the Positive Muon Anomalous Magnetic Moment to 0.46 ppm. *Phys. Rev. Lett.*, 126(14):141801, 2021.
- [2] T. Aoyama, N. Asmussen, M. Benayoun, J. Bijnens, T. Blum, M. Bruno, I. Caprini, C. Carloni Calame, M. Cè, G. Colangelo, and et al. The anomalous magnetic moment of the muon in the standard model. *Physics Reports*, 887:1–166, Dec 2020.
- [3] A. Biswas, S. Choubey, and S. Khan. FIMP and Muon ( $g - 2$ ) in a  $U(1)_{L_\mu - L_\tau}$  Model. *JHEP*, 02:123, 2017.
- [4] X. G. He, G. C. Joshi, H. Lew, and R. R. Volkas. NEW Z-prime PHENOMENOLOGY. *Phys. Rev. D*, 43:22–24, 1991.

- [5] A. Hoecker and W. J. Marciano. Muon Anomalous Magnetic Moment.
- [6] F. Jegerlehner and A. Nyffeler. The Muon  $g-2$ . *Phys. Rept.*, 477:1–110, 2009.
- [7] J. P. Leveille. The Second Order Weak Correction to  $(G-2)$  of the Muon in Arbitrary Gauge Models. *Nucl. Phys. B*, 137:63–76, 1978.
- [8] M. Lindner, M. Platscher, and F. S. Queiroz. A Call for New Physics : The Muon Anomalous Magnetic Moment and Lepton Flavor Violation. *Phys. Rept.*, 731:1–82, 2018.
- [9] W. A. Ponce. Anomaly - Free Version of  $SU(2) \times U(1) \times U(1)$ -prime. *Phys. Rev. D*, 36:962–965, 1987.

Gracias